

ОПТИЧЕСКИЙ ДИФФЕРЕНЦИАТОР НА ОСНОВЕ ТРЕХСЛОЙНОЙ СТРУКТУРЫ С W-ОБРАЗНЫМ ПРОФИЛЕМ ПОКАЗАТЕЛЯ ПРЕЛОМЛЕНИЯ

*Н. В. Головастиков**, *Л. Л. Досколович*, *Е. А. Безус***, *Д. А. Быков*, *В. А. Соifer*

*Институт систем обработки изображений Российской академии наук —
филиал ФНИЦ «Кристаллография и фотоника»
443001, Самара, Россия*

*Самарский национальный исследовательский университет им. академика С. П. Королёва
443086, Самара, Россия*

Поступила в редакцию 18 января 2018 г.

Предложен оптический дифференциатор на основе трехслойной резонансной структуры с W-образным профилем показателя преломления. Операция дифференцирования выполняется при отражении и связана с резонансным эффектом возбуждения собственной моды структуры, локализованной в центральном слое. Приведенные результаты численного моделирования демонстрируют возможность выполнения операций дифференцирования поперечного профиля падающего оптического пучка по пространственной переменной, дифференцирования огибающей падающего оптического импульса во времени, а также одновременного дифференцирования по пространственной переменной и по времени с высоким качеством. Предложенная структура может найти применение при создании систем аналоговых оптических вычислений и оптической обработки информации.

DOI: 10.1134/S0044451018080035

1. ВВЕДЕНИЕ

Математическая операция дифференцирования функции является одной из наиболее распространенных в решении самых разнообразных задач науки и техники. В последние годы наблюдается новый всплеск интереса к разработке компактных структур фотоники для дифференцирования оптических сигналов во времени, по пространственной координате, а также для реализации более сложных дифференциальных операторов. Указанные дифференцирующие структуры рассматриваются в качестве перспективной элементной базы для новых электронно-оптических устройств обработки информации [1, 2]. Для осуществления операций дифференцирования были предложены различные резонансные структуры, включая брэгговские решетки [3–8], дифракционные решетки [9, 10], плазмонные структуры на основе схемы Кречма-

на [11, 12], микро- и нанорезонаторы [2, 13–16]. Использование резонансных структур для пространственного и временного дифференцирования возможно благодаря тому, что профиль Фано, описывающий коэффициент отражения (пропускания) структуры в окрестности резонанса, может аппроксимировать передаточную функцию дифференцирующего фильтра [7, 10].

Помимо резонансных структур для выполнения операции дифференцирования по пространственной переменной были предложены компактные аналоги коррелятора с градиентными линзами, в котором пространственный фильтр представлен метаповерхностью, кодирующей функцию комплексного пропускания дифференцирующего фильтра [1, 17, 18]. По мнению авторов настоящей работы, дифференциаторы на основе резонансных структур (систем слоев и дифракционных решеток) значительно компактнее, поскольку не требуют дополнительных линз, выполняющих преобразование Фурье. Кроме того, такие резонансные структуры значительно проще в изготовлении по сравнению с метаповерхностями, которые обычно представляют собой массив нанорезонаторов.

* E-mail: nikita.golovastikov@gmail.com

** E-mail: evgeni.bezus@gmail.com

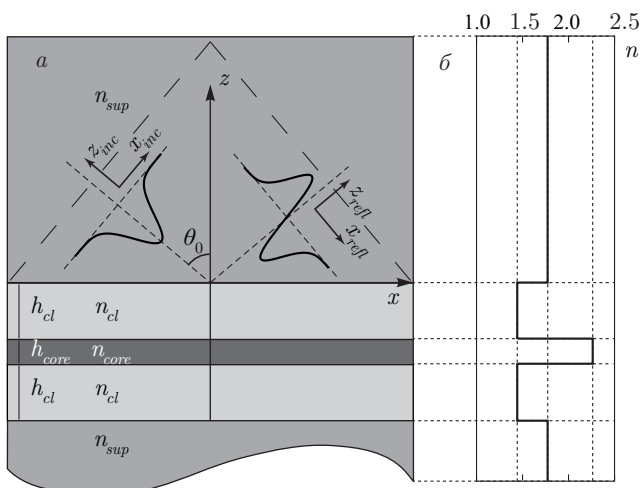


Рис. 1. Геометрия W-структуры и схематичное выполнение операции дифференцирования оптического пучка при отражении (а), а также профиль коэффициента преломления W-структуры (б)

В настоящей работе исследовано выполнение операции дифференцирования оптического сигнала с помощью простой трехслойной диэлектрической структуры с W-образным профилем показателя преломления (W-type waveguide) [19–22]. Указанная W-структура состоит из центрального волноводного слоя и двух слоев-обкладок из материала с меньшим показателем преломления, которые окружены материалом с большим показателем преломления. Профиль показателя преломления такой структуры напоминает букву W (рис. 1б). W-структура является простейшей волноводной структурой, в которой могут распространяться вытекающие моды. В связи с этим, в отличие от мод обычного плоскопараллельного волновода, моды W-структуры могут быть возбуждены падающей плоской волной. Соответственно, спектры отражения и пропускания W-структуры имеют резонансные особенности, обусловленные возбуждением вытекающих мод. Добротность резонансов, определяемая величиной мнимой части константы распространения или частоты моды, контролируется за счет выбора толщин слоев-обкладок [22]. Помимо применений в волноводной оптике W-структуры имеют ряд других интересных применений. В работе [23] были исследованы эффекты усиления поля в W-структуре. Было показано, что при увеличении толщин слоев-обкладок (при возрастании добротности резонансов) в центральном слое структуры достигается гигантское усиление поля. Это позволяет использовать W-структуру для усиления нелинейных эффек-

тов, а также в качестве чувствительного элемента датчиков параметров среды [23]. В недавней работе [24] было рассмотрено применение W-структуры для выполнения операции интегрирования оптического сигнала по пространственной переменной.

В настоящей работе теоретически обоснована и подтверждена результатами численного моделирования возможность применения W-структуры для выполнения операций дифференцирования оптического сигнала во времени, по пространственной координате, а также для выполнения операции пространственно-временного дифференцирования (одновременного дифференцирования во времени и по пространственной координате). Операция дифференцирования выполняется в отражении при наклонном падении. Представленные численные примеры показывают высокую точность выполнения указанных операций дифференцирования. По сравнению с известными дифференциаторами на основе брэгговских структур и резонансных дифракционных решеток [3–10] W-структура является существенно более простой. По сравнению с плазмонными дифференцирующими структурами [11, 12] W-структура обеспечивает лучшее качество дифференцирования. Действительно, необходимым условием для выполнения операции дифференцирования является наличие нуля в спектре отражения или пропускания дифракционной структуры (см. разд. 3). В отличие от W-структуры, для плазмонных структур это условие может выполняться только приближенно [12].

2. ОПТИЧЕСКИЕ СВОЙСТВА W-СТРУКТУРЫ

Несмотря на то что теория волноводных W-структур была разработана более 40 лет назад и хорошо известна [19–22], исследованию резонансных свойств W-структуры как системы однородных слоев посвящено всего несколько работ [23, 24]. Поэтому в данном разделе мы кратко рассмотрим резонансные особенности в спектрах W-структуры, которые необходимы для обоснования возможности использования W-структуры в качестве оптического дифференциатора.

Рассматриваемая W-структура (рис. 1) состоит из центрального волноводного слоя (показатель преломления n_{core} , толщина h_{core}) и двух слоев-обкладок (показатель преломления $n_{cl} < n_{core}$, толщины h_{cl}). Если $n_{sup} > n_{cl}$, где n_{sup} — показа-

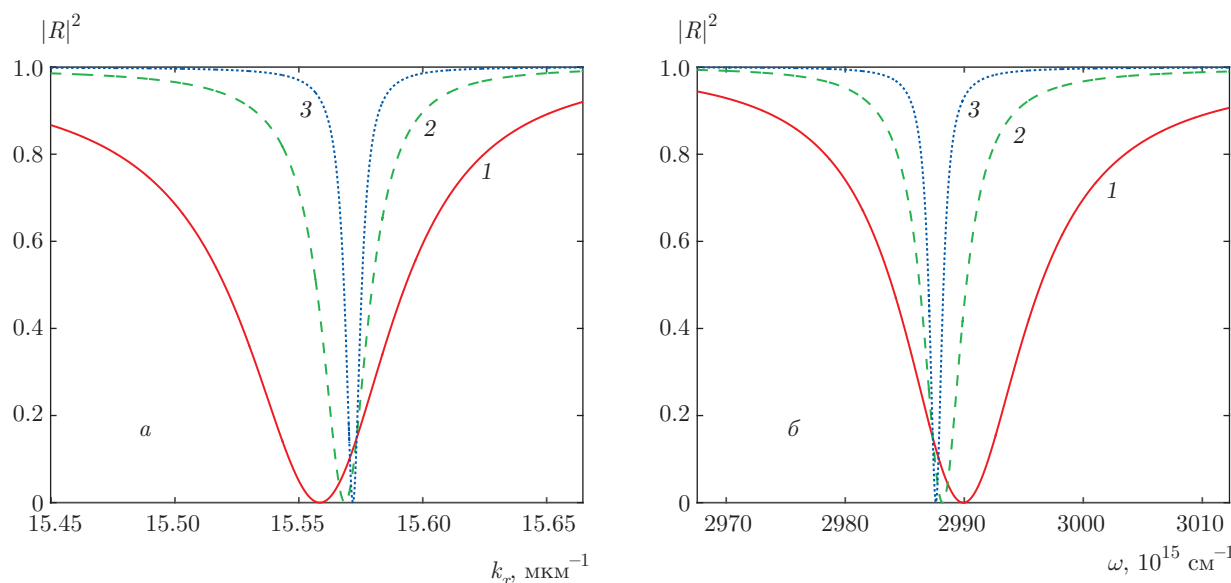


Рис. 2. (В цвете онлайн) «Пространственные» (а) и частотные (б) спектры отражения при различной толщине слоев-обкладок: $h_{cl} = 400$ нм (кривые 1), $h_{cl} = 500$ нм (кривые 2), $h_{cl} = 600$ нм (кривые 3)

тель преломления среды над и под структурой, то в W-структуре могут распространяться вытекающие моды. Дисперсионные уравнения мод W-структуры приведены в работах [19–22]. Для вытекающей моды константа распространения моды (или частота моды) является комплексной. При этом мнимая часть константы распространения (частоты), описывающая затухание моды в направлении распространения (затухание моды во времени), является экспоненциально убывающей функцией величины $\gamma = h_{cl}/h_{core}$ [22]. При большой толщине обкладок h_{cl} (при $\gamma \gg 1$) моды W-структуры могут быть приближенно описаны дисперсионным уравнением плоскопараллельного волновода, соответствующего центральному слою структуры в бесконечных обкладках из материала с показателем преломления n_{cl} .

Поскольку моды W-структуры являются вытекающими, данные моды, согласно теореме взаимности [25], могут быть возбуждены падающей плоской волной. Соответственно, спектры отражения и пропускания W-структуры будут иметь резонансные особенности, обусловленные возбуждением вытекающих мод.

В качестве примера на рис. 2 показаны пространственные и частотные спектры отражения W-структуры, т. е. квадраты модулей коэффициентов отражения, рассматриваемых как функции x -компоненты k_x волнового вектора падающей вол-

ны (рис. 2а) и частоты ω (рис. 2б). Расчет спектров проводился методом фурье-мод [26] для случая ТЕ-поляризации при следующих параметрах: $n_{core} = 2.2698$ (TiO₂), $n_{cl} = 1.457$ (SiO₂), $n_{sup} = 1.7786$ (SF11), $h_{core} = 40$ нм и трех различных значениях толщин слоев-обкладок. Спектры отражения имеют выраженные минимумы, обусловленные возбуждением собственных мод W-структуры. Как отмечено выше, при увеличении толщин обкладок h_{cl} уменьшается мнимая часть константы распространения моды или мнимая часть комплексной частоты моды. Соответственно с ростом h_{cl} возрастает добротность резонанса и уменьшается ширина резонансного минимума (см. рис. 2). Отметим, что в силу наличия у W-структуры горизонтальной плоскости симметрии коэффициент отражения в минимумах строго равен нулю [10].

Наличие резонансных минимумов отражения и, соответственно, максимумов пропускания позволяет использовать W-структуру в качестве углового или частотного фильтра, работающего в режиме пропускания [27]. При этом заданная ширина пика пропускания может быть обеспечена выбором соответствующего значения h_{cl} . В настоящей статье рассматривается применение указанной структуры для оптического выполнения операций дифференцирования по пространственной переменной и во времени (см. рис. 1а).

3. ПРЕОБРАЗОВАНИЕ ОГИБАЮЩЕЙ ОПТИЧЕСКОГО СИГНАЛА ДИФРАКЦИОННОЙ СТРУКТУРОЙ

В рамках линейной оптики преобразование профиля оптического пучка (или огибающей оптического импульса), происходящее при отражении или прохождении пучка через дифракционную структуру, может быть описано в рамках теории линейных систем [7–10, 28, 29]. Передаточная функция (ПФ) системы определяется комплексным коэффициентом отражения (пропускания) дифракционной структуры, рассматриваемым как функция от тангенциальной компоненты k_x волнового вектора и частоты ω падающей плоской волны.

На примере исследуемой в работе W-структуры получим ПФ, описывающую преобразование поперечного профиля монохроматического пучка ($\omega = \omega_0$), происходящее при отражении пучка от дифракционной структуры. В системе координат (x_{inc}, z_{inc}) падающего пучка (см. рис. 1a) пучок может быть представлен в виде суперпозиции плоских волн с различными значениями пространственной частоты

$$k_{x,inc} = k_0 n_{sup} \sin \theta,$$

где θ — угол между направлением распространения плоской волны и осью z_{inc} . Будем считать, что пространственный спектр пучка $G(k_{x,inc})$, $|k_{x,inc}| \leq g$, описывающий амплитуды составляющих пучков плоских волн, является достаточно узким («ширина» спектра $g \ll k_0 n_{sup}$), так что

$$k_{z,inc} = \sqrt{k_0^2 n_{sup}^2 - k_{x,inc}^2} \approx k_0 n_{sup}.$$

В этом случае имеем

$$\begin{aligned} u_{inc}(x_{inc}, z_{inc}) &= \exp(-ik_0 n_{sup} z_{inc}) P_{inc}(x_{inc}) = \\ &= \exp(-ik_0 n_{sup} z_{inc}) \int G(k_{x,inc}) \times \\ &\quad \times \exp(ik_{x,inc} x_{inc}) dk_{x,inc}, \end{aligned} \quad (1)$$

где $P_{inc}(x_{inc})$ — поперечный профиль пучка. Функция $u(x_{inc}, z_{inc})$ соответствует y -компоненте электрического или магнитного поля в зависимости от поляризации (соответственно ТЕ или ТМ).

Легко видеть, что преобразование спектра пучка $G(k_{x,inc})$, падающего на структуру под углом θ_0 , при отражении от структуры описывается умножением на коэффициент отражения $R(k_x)$, рассматриваемый как функция x -компоненты волнового вектора плоской волны, падающей под углом $\theta + \theta_0$:

$$k_x = k_0 n_{sup} \sin(\theta + \theta_0) \approx k_{x,inc} \cos \theta_0 + k_{x,0}, \quad (2)$$

где $k_{x,0} = k_0 n_{sup} \sin \theta_0$. При этом профиль отраженного пучка в системе координат (x_{refl}, z_{refl}) отраженного пучка (см. рис. 1a) принимает вид

$$\begin{aligned} P_{refl}(x_{refl}) &= \int G(k_{x,inc}) R(k_x) \times \\ &\quad \times \exp(ik_{x,inc} x_{refl}) dk_{x,inc}. \end{aligned} \quad (3)$$

Согласно выражениям (1)–(3), преобразование профиля пучка при отражении, $P_{inc}(x_{inc}) \rightarrow P_{refl}(x_{refl})$, можно описывать как преобразование сигнала $P_{inc}(x_{inc})$ линейной системой со следующей ПФ [7, 28]:

$$H_s^R(k_{x,inc}) = R(k_{x,inc} \cos \theta_0 + k_{x,0}). \quad (4)$$

Аналогично можно показать, что для импульса, соответствующего суперпозиции плоских волн с фиксированным направлением, но с различными частотами $\omega = \omega_{inc} + \omega_0$, где ω_0 — центральная частота, преобразование формы огибающей импульса, происходящее при отражении от структуры, описывается выражением [9, 10]

$$P_{refl}(t) = \int G(\omega_{inc}) R(\omega) \exp(-i\omega_{inc} t) d\omega_{inc}, \quad (5)$$

где $G(\omega_{inc})$ — спектр огибающей падающего импульса, $|\omega_{inc}| \leq \Omega$, Ω — его ширина, $R(\omega)$ — коэффициент отражения структуры, рассматриваемый как функция частоты. Легко видеть, что ПФ линейной системы, описывающей преобразование (5), имеет вид [9, 10]

$$H_t^R(\omega_{inc}) = R(\omega_{inc} + \omega_0). \quad (6)$$

Можно показать, что в общем случае, когда падающий пучок (импульс) представляется в виде суперпозиции плоских волн различных частот и направлений распространения, пространственно-временное преобразование профиля огибающей падающего импульса, $P_{inc}(x_{inc}, t) \rightarrow P_{refl}(x_{refl}, t)$, описывается следующей ПФ [29]:

$$\begin{aligned} H_{st}^R(k_{x,inc}, \omega_{inc}) &= R \left(k_{x,inc} \cos \theta_0 + \right. \\ &\quad \left. + \frac{\omega_{inc} + \omega_0}{c} n_{sup} \sin \theta_0, \omega_{inc} + \omega_0 \right) \end{aligned} \quad (7)$$

(c — скорость света), являющейся обобщением ПФ (4) и (6). Отметим, что последнее выражение сводится к выражениям (4) и (6) соответственно при $\omega_{inc} = 0$ и $k_{x,inc} = 0$.

Аналогичным образом записывается ПФ для преобразования формы профиля огибающей прошедшего импульса, $P_{inc}(x_{inc}, t) \rightarrow P_{tr}(x_{refl}, t)$:

$$H_{st}^T(k_{x,inc}, \omega_{inc}) = T \left(k_{x,inc} \cos \theta_0 + \frac{\omega_{inc} + \omega_0}{c} n_{sup} \sin \theta_0, \omega_{inc} + \omega_0 \right), \quad (8)$$

где T — коэффициент пропускания. Таким образом, форма огибающей отраженного (прошедшего) оптического сигнала полностью определяется видом коэффициента отражения (пропускания) структуры.

Рассмотрим необходимые условия для выполнения операции дифференцирования. Пусть коэффициент отражения дифракционной структуры обращается в нуль при угле падения $\theta = \theta_0$ (при $k_{x,inc} = 0$) и частоте $\omega = \omega_0$ ($\omega_{inc} = 0$):

$$R \left(\frac{\omega_0}{c} n_{sup} \sin \theta_0, \omega_0 \right) = 0.$$

Из закона сохранения энергии следует, что в этом случае

$$\left| T \left(\frac{\omega_0}{c} n_{sup} \sin \theta_0, \omega_0 \right) \right| = 1.$$

Разложим ПФ (4), (6)–(8) в ряды Тейлора в окрестности точек $k_{x,inc} = 0$, $\omega_{inc} = 0$ до линейных членов и получим

$$H_s^R(k_{x,inc}) \approx \alpha_R k_{x,inc}, \quad H_t^R(\omega_{inc}) \approx \beta_R \omega_{inc}, \quad (9)$$

$$H_{st}^R(k_{x,inc}, \omega_{inc}) = \alpha_R k_{x,inc} + \beta_R \omega_{inc},$$

$$H_s^T(k_{x,inc}) \approx e^{i\varphi} + \alpha_T k_{x,inc},$$

$$H_t^T(\omega_{inc}) \approx e^{i\varphi} + \beta_T \omega_{inc}, \quad (10)$$

$$H_{st}^T(k_{x,inc}, \omega_{inc}) = e^{i\varphi} + \alpha_T k_{x,inc} + \beta_T \omega_{inc},$$

где

$$\alpha_{R,T} = \left. \frac{dH_{s,t}^{R,T}}{dk_{x,inc}} \right|_{k_{x,inc}=0}, \quad \beta_{R,T} = \left. \frac{dH_{s,t}^{R,T}}{d\omega_{inc}} \right|_{\omega_{inc}=0}.$$

Первые две ПФ в выражениях (9) соответственно пропорциональны ПФ дифференциатора по пространственной переменной, $H_{s,diff}(k_{x,inc}) = ik_{x,inc}$, и ПФ дифференциатора во времени, $H_{t,diff}(\omega_{inc}) = -i\omega_{inc}$. Третья ПФ в (9) соответствует линейной комбинации пространственной и временной ПФ и поэтому далее называется ПФ пространственно-временного дифференциатора.

Представленный теоретический анализ показывает возможность использования W-структуры в

качестве оптического дифференциатора. Действительно, в разд. 2 показано, что коэффициент отражения W-структуры обращается в нуль в окрестности резонанса. Это позволяет выполнить различные операции дифференцирования, описываемые ПФ (9). Отметим, что добротность резонанса (ширина резонансного минимума) для рассматриваемой структуры определяется толщиной h_{cl} слоев-обкладок. За счет выбора толщины h_{cl} можно получить требуемый интервал линейности для ПФ (4), (6), (7), согласованный с шириной пространственного (частотного) спектра падающего пучка. Выполнение операции дифференцирования профиля пучка по пространственной переменной схематично показано выше на рис. 1а.

Практическая реализация дифференциатора на основе W-структуры требует использования призмы для ввода оптического пучка. Этим такой дифференциатор похож на недавно предложенный плазмонный дифференциатор на основе схемы Кречмана [12]. Обе структуры являются относительно простыми в технологической реализации, однако, в отличие от плазмонного дифференциатора, в рассматриваемой W-структуре коэффициент отражения строго обращается в нуль, а также существует возможность контроля ширины резонансного минимума отражения.

4. ЧИСЛЕННОЕ МОДЕЛИРОВАНИЕ ОПТИЧЕСКОГО ДИФФЕРЕНЦИАТОРА

Исследуем возможность использования рассмотренной W-структуры (см. рис. 1) для выполнения операций дифференцирования. Для численного моделирования была выбрана структура с параметрами, указанными в разд. 2 и $h_{cl} = 400$ нм. На рис. 3а представлен спектр отражения $|R(k_x, \omega)|$ W-структуры, рассчитанный методом фурье-мод [26] для случая ТЕ-поляризации падающей волны. В спектре явно виден минимум отражения, связанный с возбуждением волноводной моды, локализованной в центральном слое. В силу наличия у рассматриваемой структуры горизонтальной плоскости симметрии коэффициент отражения в указанном минимуме строго равен нулю [10]. В частности, для длины волны $\lambda = 629$ нм (частоты $\omega = \omega_0 = 2.995 \cdot 10^{15}$ с⁻¹) нулевое отражение достигается при угле падения излучения $\theta_0 = 61.86^\circ$ ($k_x = 15.666$ мкм⁻¹). Раскладывая коэффициент отражения в ряд Тейлора в окрестности данной точки, получим, что в первом

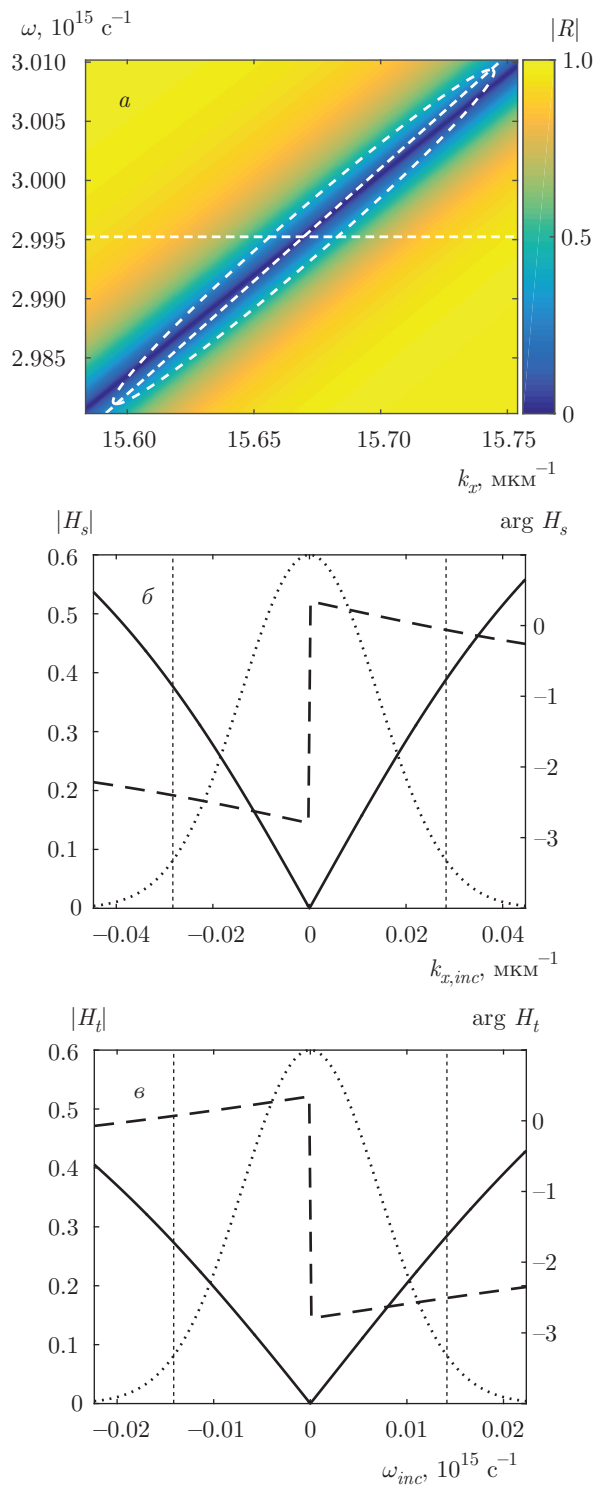


Рис. 3. (В цвете онлайн) Спектр отражения $|R(k_x, \omega)|$ W-структуры (a) и его сечения, соответствующие пространственной ПФ при $\omega_0 = 2.995 \cdot 10^{15} \text{ с}^{-1}$ ($\lambda_0 = 629 \text{ нм}$) (б) и временной ПФ при $k_{x,0} = 0.01567 \text{ нм}^{-1}$ ($\theta_0 = 61.86^\circ$) (в). Сечения отмечены белыми штриховыми линиями на рис. a. Штриховой эллипс на рис. a и вертикальные пунктирные линии на рис. б и в показывают границы спектров падающих пучков для рассмотренных ниже примеров

приближении положение нулей коэффициента отражения описывается прямой

$$k_x = \omega \left(\frac{n_{sup} \sin \theta_0}{c} - \frac{\beta_R}{\alpha_R} \cos \theta_0 \right) \frac{\beta_R}{\alpha_R} \omega_0 \cos \theta_0.$$

Отметим, что при наличии «строгого» нуля отражения для различных пар k_x, ω в окрестности резонанса фазы коэффициентов α и β в ПФ (9) и (10) совпадают с точностью до π (см. Приложение).

Для подтверждения резонансной природы наблюдаемого минимума была рассчитана комплексная частота собственной моды ω_p планарной структуры как полюс коэффициента отражения $R(\omega)$. Расчет проводился численным методом [30] для угла падения $\theta_0 = 61.86^\circ$. Полученное значение комплексной частоты $\omega_p = 2.991 \cdot 10^{15} - i6.205 \cdot 10^{12} \text{ с}^{-1}$ находится в окрестности частоты $\omega = \omega_0 = 2.995 \cdot 10^{15} \text{ с}^{-1}$.

На рис. 3б показана «пространственная» ПФ $H_s(k_{x,inc})$ (4), соответствующая сечению комплексного коэффициента отражения $R(k_x, \omega)$ (7) при фиксированной частоте $\omega = \omega_0 = 2.995 \cdot 10^{15} \text{ с}^{-1}$ (горизонтальная штриховая линия на рис. 3а). На рис. 3в показана «временная» ПФ $H_t(\omega_{inc})$ (6), соответствующая сечению коэффициента отражения $R(k_x, \omega)$ (7) при фиксированном угле падения $\theta_0 = 61.86^\circ$ (наклонная штриховая прямая на рис. 3а). ПФ на рис. 3б и 3в хорошо совпадают с ПФ идеальных дифференциаторов в окрестности соответственно точек $k_{x,inc} = 0$ и $\omega_{inc} = 0$.

Для подтверждения возможности выполнения операций пространственного и временного дифференцирования было проведено численное моделирование дифракции монохроматического пучка (рис. 4а) и временного импульса (рис. 4б) на рассмотренной W-структуре. На рис. 4а показаны профиль падающего монохроматического гауссова пучка $P_{inc}(x_{inc}) = \exp(-x_{inc}^2/\sigma_x^2)$, $\sigma_x = 100 \text{ мкм}$ (пунктирная линия, шкала справа), модуль профиля отраженного пучка, рассчитанного по формуле (3) для $\omega = \omega_0 = 2.995 \cdot 10^{15} \text{ с}^{-1}$ и угла падения $\theta_0 = 61.86^\circ$ (сплошная линия) и модуль аналитически вычисленной производной гауссовой функции $\partial P_{inc}(x_{inc})/\partial x_{inc}$ (штриховая линия). Модуль производной приведен с масштабным множителем, выбранным из условия совпадения максимумов аналитической производной и отраженного сигнала. Нормированный спектр пучка $G(k_{x,inc}) \propto \exp(-k_{x,inc}^2 \sigma_x^2/4)$ и его ширина по уровню $1/e^2$ показаны пунктирными линиями на рис. 3б (см. выше). Из рис. 3б видно, что спектр падающего пучка лежит в интервале линейности

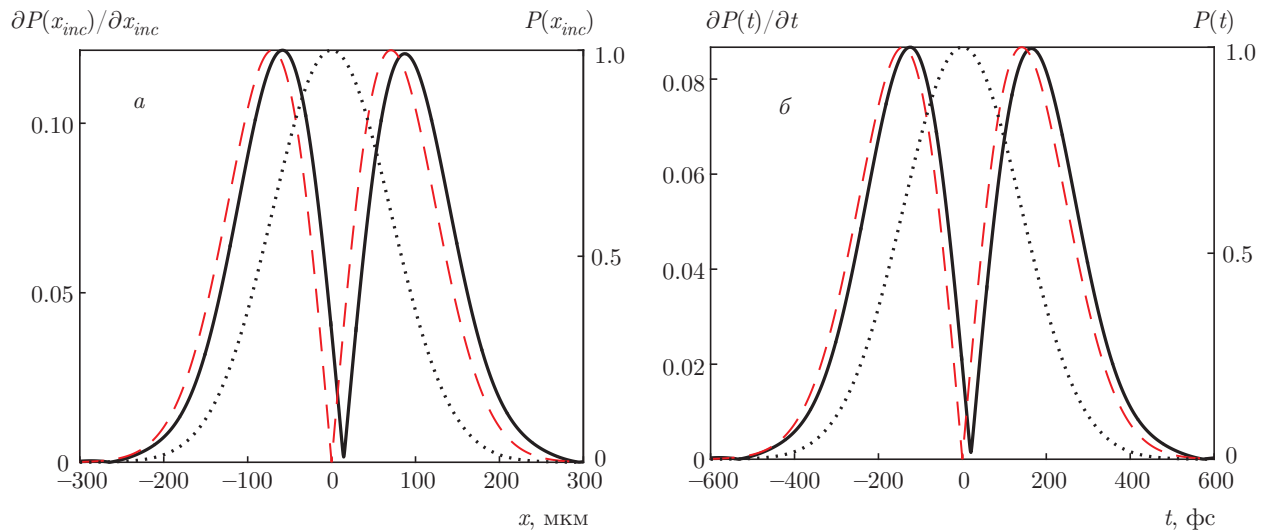


Рис. 4. а) Модуль профиля отраженного пучка, рассчитанного по формуле (3) (сплошная линия), модуль производной по пространственной координате от профиля падающего пучка (штриховая линия) и профиль падающего пучка (пунктирная линия, шкала справа). б) Модуль огибающей отраженного импульса, рассчитанной по формуле (5) (сплошная линия), модуль производной по времени от огибающей падающего импульса (штриховая линия) и огибающая падающего импульса (пунктирная линия, шкала справа)

ПФ $H_s(k_{x,inc})$. Отметим, что линейная фаза в ПФ описывает сдвиг отраженного пучка (эффект Гуса – Хенхен) и не влияет на качество дифференцирования. Рисунок 4а показывает высокое качество дифференцирования: среднеквадратичное отклонение (СКО) модуля профиля отраженного пучка от аналитической производной, нормированное на максимальную амплитуду отраженного пучка, составляет 2.2%. Отметим, что при расчете СКО минимумы графиков на рис. 4а совмещались, т. е. сдвиг отраженного сигнала не учитывался. При этом максимальная амплитуда отраженного сигнала составляет 0.08.

На рис. 4б показаны огибающая падающего гауссова импульса $P_{inc}(t) = \exp(-t^2/\sigma_t^2)$, $\sigma_t = 200$ фс (пунктирная линия, шкала справа), модуль огибающей отраженного импульса, рассчитанной строго по формуле (5) (сплошная линия на рис. 4б) и модуль аналитически вычисленной производной гауссовой функции $\partial P_{inc}(t)/\partial t$ (штриховая линия на рис. 4б). Расчет проводился при центральной частоте импульса $\omega_0 = 2.995 \cdot 10^{15} \text{ c}^{-1}$ ($\lambda_0 = 629 \text{ нм}$) и угле падения $\theta_0 = 61.86^\circ$. Нормированный спектр импульса $G(\omega_{inc}) \propto \exp(-\sigma_t^2 \omega_{inc}^2/4)$ и его ширина по уровню $1/e^2$ показаны пунктирными линиями на рис. 3в (см. выше). Из рис. 3в видно, что, как и в случае с пространственным преобразованием, спектр импульса лежит в интервале линейности спектра отражения.

Это обеспечивает высокое качество дифференцирования: СКО огибающей отраженного импульса от аналитической производной на рис. 4б составляет 1.4%. Как и в случае пространственного дифференцирования, сдвиг огибающей отраженного импульса относительно аналитической производной обусловлен линейной фазой у ПФ (см. рис. 3в). Величину сдвига $\tau = 16.82$ фс (задержки импульса вследствие взаимодействия с резонансной структурой) в данном случае можно интерпретировать как время дифференцирования.

Рассмотрим теперь дифракцию двумерного пространственно-временного импульса с гауссовым профилем

$$E_{inc}(x_{inc}, t) = \exp\left(-\frac{x_{inc}^2}{\sigma_x^2} - \frac{t^2}{\sigma_t^2}\right)$$

при следующих параметрах: центральная частота $\omega_0 = 2.995 \cdot 10^{15} \text{ c}^{-1}$, ширина $\sigma_x = 100 \text{ мкм}$, длительность $\sigma_t = 200 \text{ фс}$. Выбранные параметры совпадают с параметрами предыдущих примеров пространственного и временного дифференцирования. Спектр сигнала

$$G(k_{x,inc}, \omega_{inc}) \propto \exp(-k_{x,inc}^2 \sigma_x^2/4 - \sigma_t^2 \omega_{inc}^2/4)$$

по уровню $1/e^2$ отмечен на рис. 3а штриховым эллипсом (см. выше). В соответствии с выражением для пространственно-временной ПФ $H_{st,dif}^R(k_{x,inc}, \omega_{inc})$ (9) отраженный от W-структуры сигнал будет соответствовать линейной

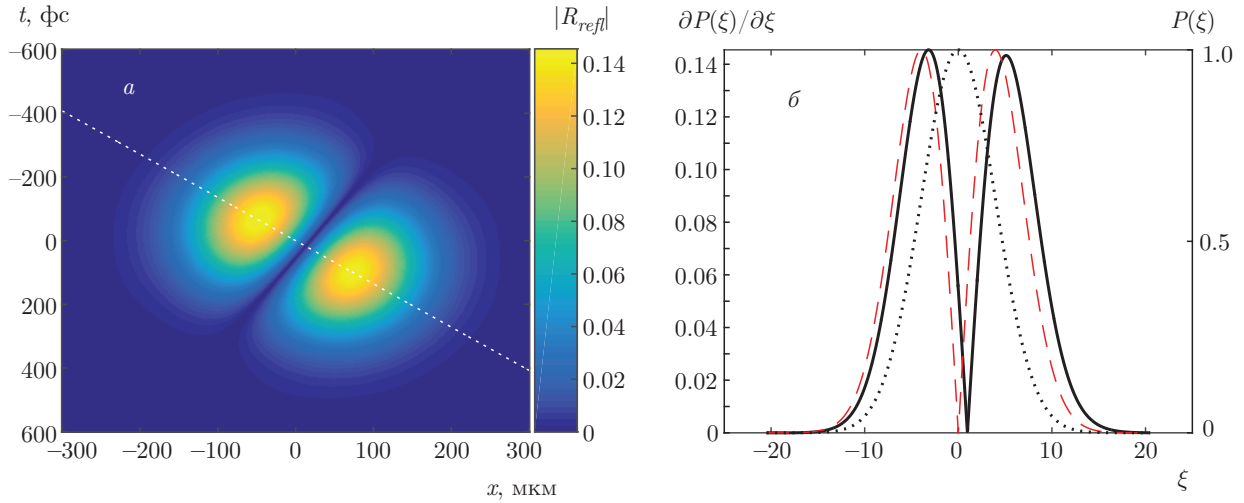


Рис. 5. (В цвете онлайн) *а*) Модуль пространственно-временной огибающей отраженного сигнала. *б*) Сечение модуля пространственно-временной огибающей вдоль прямой, показанной на рис. *а* (сплошная линия) и модуль аналитически рассчитанной производной по направлению от падающего сигнала (штриховая линия). Пунктирная линия показывает сечение пространственно-временного профиля падающего сигнала

суперпозиции производных, взятых по переменным x_{refl} и t :

$$\begin{aligned}
 P_{refl}(x_{refl}, t) &= \\
 &= -i \left[\alpha_R \frac{\partial E_{inc}(x_{refl}, t)}{\partial x_{refl}} - \beta_R \frac{\partial E_{inc}(x_{refl}, t)}{\partial t} \right] = \\
 &= 2i \left(\frac{\alpha_R x_{refl}}{\sigma_x^2} - \frac{\beta_R t}{\sigma_t^2} \right) \exp \left(-\frac{x_{refl}^2}{\sigma_x^2} - \frac{t^2}{\sigma_t^2} \right). \quad (11)
 \end{aligned}$$

В Приложении показано, что фазы коэффициентов α_R и β_R совпадают с точностью до π . Это позволяет рассматривать выражение (11) как производную по некоторому направлению в пространстве (x_{refl}, t) . В рассматриваемом случае

$$\begin{aligned}
 \alpha_R &= 13.19 \exp(i\varphi - i\pi/2) \text{ мкм}, \\
 \beta_R &= 17.42 \exp(i\varphi + i\pi/2) \text{ фс},
 \end{aligned}$$

где $\varphi = 1.968$ соответствует фазе коэффициента пропускания в выражении (10) при $k_{x,inc} = 0, \omega_{inc} = 0$. Приведенные значения α_R и β_R были рассчитаны численно как производные ПФ на рис. 3б и 3в соответственно при $k_{x,inc} = 0$ и $\omega_{inc} = 0$. Фазы коэффициентов α_R, β_R отличаются на π , поэтому в данном случае выражение (11) соответствует производной по направлению

$$\mathbf{d} = (d_x, d_t) \equiv (\alpha_R - \beta_R) \exp(-i\varphi + i\pi/2)$$

в пространстве (x_{refl}, t) . В общем случае направление дифференцирования \mathbf{d} определяется дисперсией волноводной моды $\omega_p = \omega_p(k_x)$, которая, в свою

очередь, зависит от геометрических и материальных параметров структуры.

На рис. 5а показан рассчитанный модуль огибающей отраженного импульса, который хорошо совпадает с оценкой (11), СКО составляет 4.8%. На рис. 5б представлен профиль отраженного оптического сигнала вдоль прямой $(x_{refl}, t) = (x_0 + d_x \xi, t_0 + d_t \xi)$ с направлением \mathbf{d} , где $(x_0, t_0) = (12.75 \text{ мкм}, 16.5 \text{ фс})$ — центр отраженного сигнала. Этот профиль находится в хорошем соответствии с аналитически вычисленной производной по направлению $D(\xi) = dE_{inc}(d_x \xi, d_t \xi)/d\xi$, показанной штриховой линией. В рассмотренном примере $d_t/d_x = -\beta_R/\alpha_R = 1.32 \text{ фс/мкм}$, что соответствует углу 52.85° между направлением \mathbf{d} и осью x_{refl} на рис. 5а. СКО для кривых на рис. 5б составляет 3.7%. Таким образом, пространственно-временной профиль отраженного оптического сигнала в рассмотренном примере соответствует производной от падающего сигнала по направлению \mathbf{d} .

5. ЗАКЛЮЧЕНИЕ

Предложен оптический дифференциатор на основе трехслойной резонансной структуры с W-образным профилем показателя преломления, работающий в режиме отражения. Выполнение операции дифференцирования связано с резонансным эффектом возбуждения собственной моды структуры, локализованной в центральном слое

структуры. Результаты численного моделирования демонстрируют возможность выполнения операций дифференцирования по пространственной переменной, во времени, а также по некоторому направлению в пространстве (x_{refl}, t) . При этом указанные операции выполняются с высоким качеством. Полученные результаты могут найти применение при разработке систем аналоговых оптических вычислений и других устройств оптической обработки информации.

Работа выполнена при финансовой поддержке РФФИ (грант № 17-47-630323) (анализ оптических свойств W-структуры), Федерального агентства научных организаций (соглашение № 007-ГЗ/ЧЗ363/26) (получение выражений для передаточных функций, описывающих преобразование падающего оптического сигнала) и РНФ (грант № 14-19-00796) (численное моделирование работы дифференциатора на основе W-структуры).

ПРИЛОЖЕНИЕ

В разд. 2 рассматривается дифракционная структура, для которой при угле падения $\theta = \theta_0$ (при $k_{x,inc} = 0$) и частоте $\omega = \omega_0$ ($\omega_{inc} = 0$) коэффициент отражения обращается в нуль, а модуль коэффициента пропускания — в единицу. Используя представления для передаточных функций H_{st}^R (9) и H_{st}^T (10), запишем следующие разложения коэффициентов отражения и пропускания в окрестности точки $(k_{x,0}, \omega_0)$:

$$\begin{aligned} R(k_x, \omega) &= \frac{\alpha_R(k_x - k_{x,0})}{\cos \theta_0} + \\ &+ \left(\beta_R - \frac{\alpha_R n \operatorname{tg} \theta_0}{c} \right) (\omega - \omega_0) + o(\rho), \\ T(k_x, \omega) &= e^{i\varphi} + \frac{\alpha_T(k_x - k_{x,0})}{\cos \theta_0} + \\ &+ \left(\beta_T - \frac{\alpha_T n \operatorname{tg} \theta_0}{c} \right) (\omega - \omega_0) + o(\rho), \end{aligned} \quad (12)$$

где

$$\rho = \sqrt{\left(\frac{k_x - k_{x,0}}{\cos \theta_0} \right)^2 + \left(\frac{\omega - \omega_0}{c} \right)^2}.$$

Воспользуемся следствием закона сохранения энергии для коэффициентов отражения и пропускания структуры [10]:

$$RR^* + TT^* = 1, \quad RT^* + TR^* = 0. \quad (13)$$

Подставляя представления (12) в (13) и учитывая, что выражения (13) верны для любых k_x и ω , приравняем к нулю коэффициенты перед k_x и ω и получим следующие условия для коэффициентов разложения $\alpha_T, \beta_T, \alpha_R, \beta_R$:

$$\begin{aligned} e^{i\varphi} \alpha_{R,T}^* + \alpha_{R,T} e^{-i\varphi} &= 0, \\ e^{i\varphi} \beta_{R,T}^* + \beta_{R,T} e^{-i\varphi} &= 0. \end{aligned} \quad (14)$$

Из (14) следует, что фазы коэффициентов $\alpha_T, \beta_T, \alpha_R, \beta_R$ совпадают с точностью до π :

$$\begin{aligned} \arg \alpha_{R,T} &= \varphi \pm \pi/2, \\ \arg \beta_{R,T} &= \arg \alpha_{R,T} + \pi m, \quad m \in \mathbb{Z}. \end{aligned} \quad (15)$$

ЛИТЕРАТУРА

1. A. Silva, F. Monticone, G. Castaldi et al., *Science* **343**, 160 (2014).
2. W. Liu, M. Li, R. S. Guzzon et al., *Nature Photonics* **10**, 190 (2016).
3. R. Slavík, Y. Park, M. Kulishov et al., *Opt. Lett.* **34**, 3116 (2009).
4. L. M. Rivas, S. Boudreau, Y. Park et al., *Opt. Lett.* **34**, 1792 (2009).
5. N. K. Berger, B. Levit, B. Fischer et al., *Opt. Express* **15**, 371 (2007).
6. M. Kulishov and J. Azaña, *Opt. Express* **15**, 6152 (2007).
7. L. L. Doskolovich, D. A. Bykov, E. A. Bezus, and V. A. Soifer, *Opt. Lett.* **39**, 1278 (2014).
8. D. A. Bykov, L. L. Doskolovich, E. A. Bezus, and V. A. Soifer, *Opt. Express* **22**, 25084 (2014).
9. Д. А. Быков, Л. Л. Досколович, В. А. Сойфер, *ЖЭТФ* **141**, 832 (2012).
10. D. A. Bykov, L. L. Doskolovich, N. V. Golovastikov, and V. A. Soifer, *J. Opt.* **15**, 105703 (2015).
11. Z. Ruan, *Opt. Lett.* **40**, 601 (2015).
12. T. Zhu, Y. Zhou, Y. Lou et al., *Nature Comm.* **8**, 15391 (2017).
13. F. Liu, T. Wang, L. Qiang et al., *Opt. Express* **16**, 15880 (2008).
14. T. Yang, J. Dong, L. Lu et al., *Sci. Rep.* **4**, 5581 (2014).
15. N. L. Kazanskiy, P. G. Serafimovich, and S. N. Khonina, *Opt. Lett.* **38**, 1149 (2013).

16. C. Guo, M. Xiao, M. Minkov et al., *Optica* **5**, 251 (2018).
17. A. Pors, M. G. Nielsen, and S. I. Bozhevolnyi, *Nano Lett.* **15**, 791 (2015).
18. A. Chizari, S. Abdollahramezani, M. V. Jamali, and J. A. Salehi, *Opt. Lett.* **41**, 3451 (2016).
19. Y. Suematsu and K. Furuya, *IEEE Trans. Microwave Theory Tech.* **23**, 170 (1975).
20. S. Kawakami and S. Nishida, *IEEE J. Quant. Electron.* **10**, 879 (1974).
21. S. Kawakami and S. Nishida, *IEEE J. Quant. Electron.* **11**, 130 (1975).
22. J. Hu and C. R. Menyuk, *Adv. Opt. Photonics* **1**, 58 (2009).
23. R. Sainidou, J. Renger, T. V. Teperik et al., *Nano Lett.* **10**, 4450 (2010).
24. F. Zangeneh-Nejad and A. Khavasi, *Opt. Lett.* **42**, 1954 (2017).
25. R. J. Pottton, *Rep. Progr. Phys.* **67**, 717 (2004).
26. M. G. Moharam, D. A. Pommet, E. B. Grann, and T. K. Gaylord, *J. Opt. Soc. Amer. A* **12**, 1077 (1995).
27. L. L. Doskolovich, E. A. Bezus, and D. A. Bykov, *Photon. Res.* **6**, 61 (2018).
28. Н. В. Головастиков, Д. А. Быков, Л. Л. Досколович, *КЭ* **44**, 984 (2014).
29. N. V. Golovastikov, D. A. Bykov, and L. L. Doskolovich, *Opt. Lett.* **40**, 3492 (2015).
30. D. A. Bykov and L. L. Doskolovich, *J. Lightwave Technol.* **31**, 793 (2013).